



Academia Oamenilor de Știință din România

## RAPORT DE ACTIVITATE

Nr. 1

### **Materiale carbonice în medicină: riscuri și oportunități**

Tema de cercetare Nr. 6/2018

Director proiect

Prof. univ. dr. Ecaterina ANDRONESCU

Cercetător

Doctorand Adrian-Ionuț NICOARĂ

Universitatea Politehnica din București

Iunie 2018

## Cuprins

1.	Materiale carbonice – grafenă, oxid de grafenă (GO).....	3
2.	Compozite cu TiO <sub>2</sub> .....	7
3.	Compozite cu ZnO .....	9
4.	Compozite cu Fe <sub>2</sub> O <sub>3</sub> .....	12
5.	Compozite cu hidroxiapatită (HAp).....	15
6.	Concluzii și perspective .....	17
7.	Bibliografie.....	18

## 1. Materiale carbonice – grafenă, oxid de grafenă (GO)

Grafenă, materialul format dintr-un singur strat de grafit, un strat de tip „fagure” de atomi de carbon hibridizați  $sp^2$  a devenit unul dintre cele mai cercetate materiale, de la descoperirea sa în 2004 până în prezent [1]. Motivul „ascensiunii” extraordinare ale acestui material se datorează proprietăților sale fizice excepționale. Grafena prezintă o conductivitate termică ridicată ( $\approx 5000$   $W\ m^{-1}\ K^{-1}$ ), o excelentă mobilitate a purtătorilor de sarcină la temperatura camerei ( $200\ 000\ cm^2\ V^{-1}\ s^{-1}$ ), o foarte mare suprafață specifică teoretică (calculată -  $\approx 2630\ m^2\ g^{-1}$ ), o transparență ridicată, o foarte bună rezistență mecanică ( $2,4 \pm 0,4\ TPa$ ) și capacitatea de a transporta densități mari de curent electric ( $10^8\ A\ cm^{-2}$ ) [2-7].

Pentru sinteza grafenei au fost dezvoltate diferite metode de sinteză precum: creșterea epitaxială[8], exfoliere micro-mecanică [9], exfoliere termică [10], reducerea chimică și electrochimică a oxidului de grafit/grafenă [11] și metode de tip „bottom-up” plecând de la precursori organici [12]. Modalitățile de obținere a grafenei atât prin procese „top-down” cât și prin procese „bottom-up” sunt prezentate în Figura 1. Metodele de sinteză pentru grafenă sunt prezentate mai pe larg de către *Escarpa și colaboratorii* [13] și *Coleman și colaboratorii* [12].

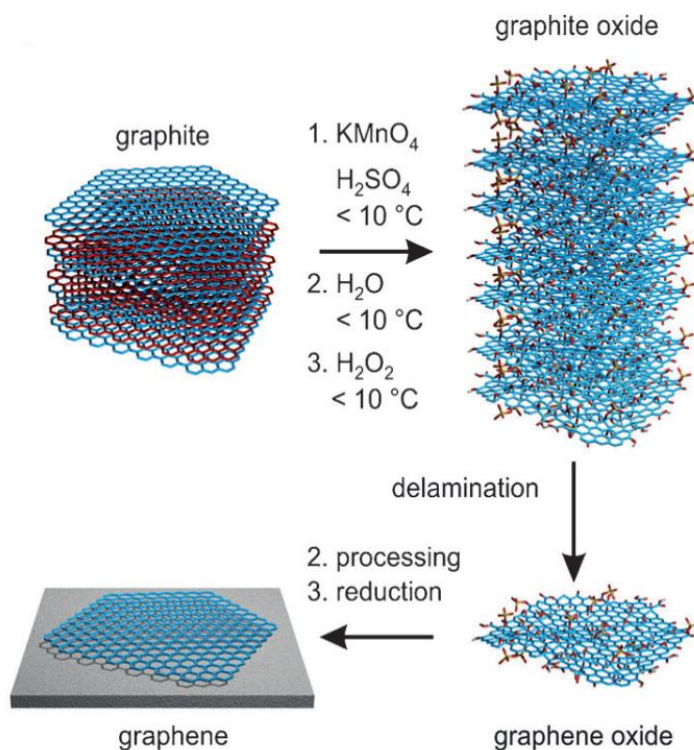
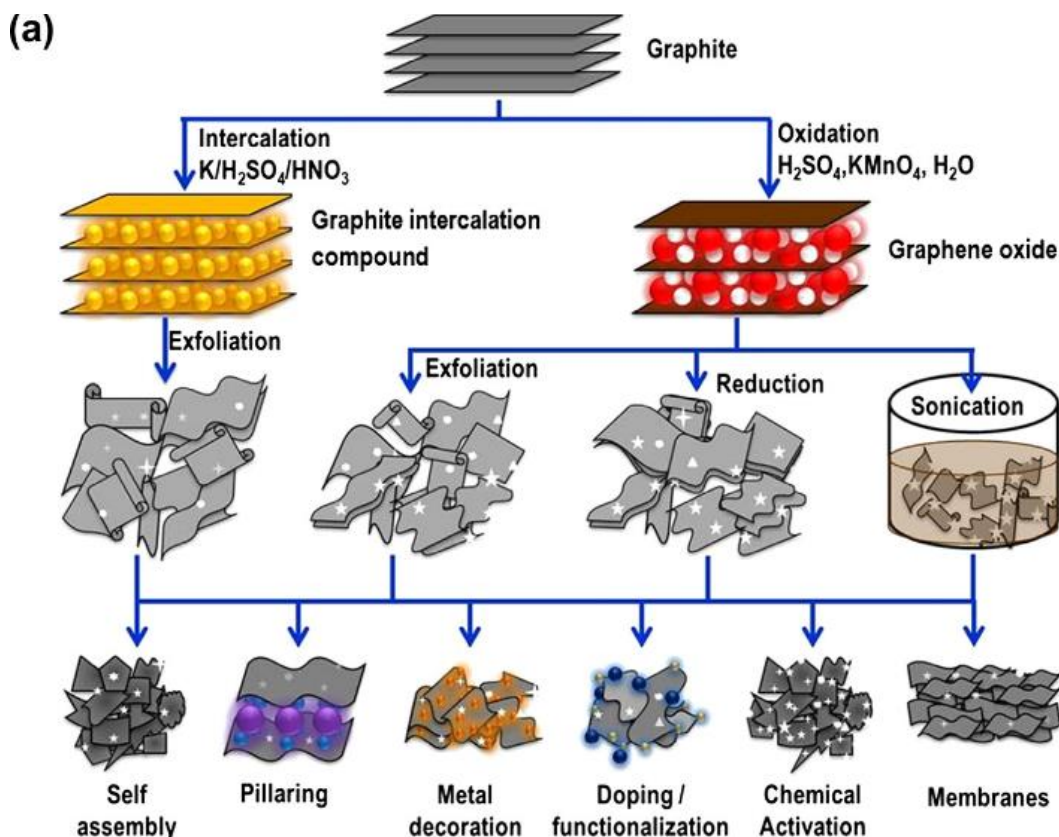


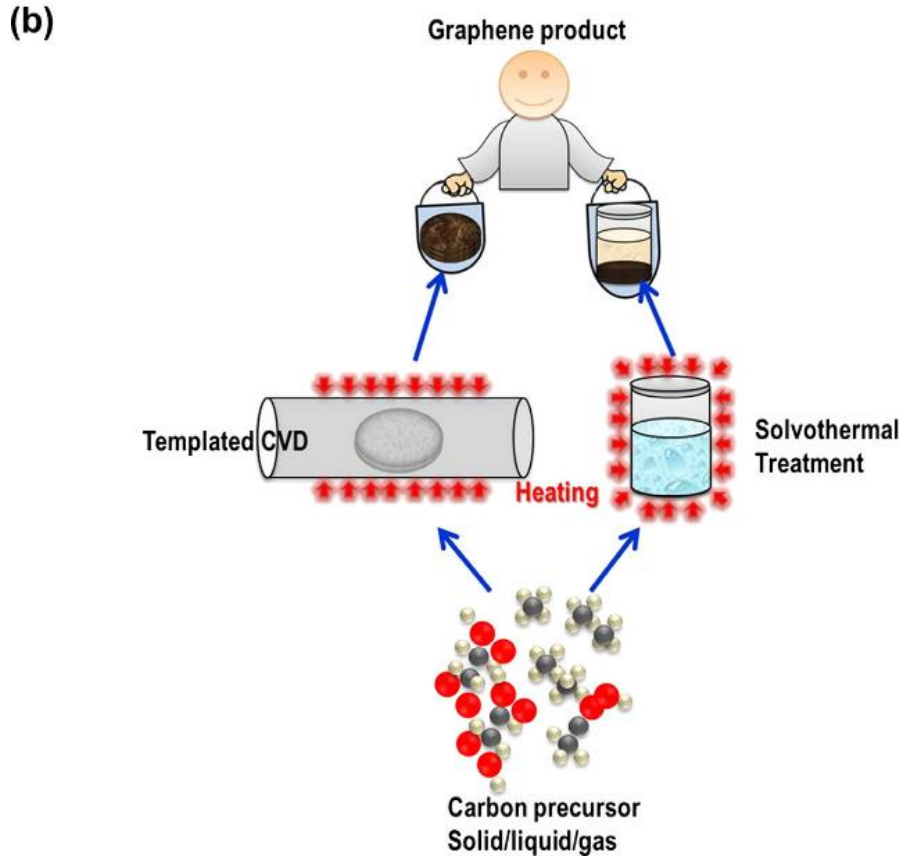
Figura 1 – Obținerea grafenei prin procesul de oxidare – exfoliere - reducere[14]

Pentru obținerea unor cantități mai mari de grafenă, de obicei, se folosește metoda oxidării grafitului, exfolierii oxidului de grafit și reducerii oxidului de grafenă, însă până în prezent nu s-a obținut o reducere totală [14].

Oxidul de grafenă este, de asemenea, un material foarte folosit pentru diferite aplicații deoarece grupele funcționale, prezente pe suprafața acestuia (precum grupările carboxil, cetonice, epoxi, alcool, etc.), permit funcționalizarea cu diferiți agenți astfel încât se poate obține o compatibilizare foarte bună [15].

Aplicațiile materialelor pe bază de grafenă sunt foarte diverse, de la celule solare [16] la senzori [17], tratarea apei [18], și chiar la terapii pentru cancer [19].





**Figura 2 – Metodele de tip: a) top-down și b) bottom-up pentru obținerea grafenei[20]**

În ultimele decenii, s-au depus foarte multe eforturi pentru dezvoltarea de nanostructuri anorganice având o morfologie, dimensiune, cristalinitate și funcționalitate dorită. Aceste nanostructuri sunt foarte folosite în aplicații precum electronice, materiale cu proprietăți optice, stocare și transformare de energie, dispozitive solare, etc.

Pentru a îmbunătăți proprietățile de interes, s-au proiectat foarte multe componete cu grafena sau derivații acesteia și: Au, Ag, Pd, Pt, Ni, Rh, TiO<sub>2</sub>, ZnO, SnO<sub>2</sub>, MnO<sub>2</sub>, Fe<sub>2</sub>O<sub>3</sub>, Fe<sub>3</sub>O<sub>4</sub>, Co<sub>3</sub>O<sub>4</sub>, CdS, etc. [21].

**Tabel 1 – Comparație între metodele de sinteză pentru componetele anorganice cu grafenă și aplicațiile aferente[20]**

Materials	Synthetic routes	Applications
Au/GO or rGO	<i>Ex situ:</i> $\pi-\pi$ stacking via 2-mercaptopurine <i>Ex situ:</i> $\pi-\pi$ stacking via bovine serum albumin <i>In situ:</i> photochemical reduction <i>In situ:</i> reduction by hydroxyl-amine <i>In situ:</i> sonolytic reduction in poly(ethylene glycol) at 211 kHz	Catalysis, SERS
Au/rGO	<i>In situ:</i> reduction by NaBH <sub>4</sub> <i>In situ:</i> reduction by amino terminated ionic liquid; perylene-modified rGO <i>In situ:</i> reduction by sodium citrate <i>In situ:</i> reduction by ascorbic acid in the presence of CTAB <i>In situ:</i> microwave assisted reduction	Raman enhancement Plasmonics Electrocatalysis SERS Raman enhancement
Au/pristine graphene	<i>In situ:</i> thermal evaporation	Identification of layer number of pristine graphene
Ag/GO or rGO	<i>Ex situ:</i> $\pi-\pi$ stacking via bovine serum albumin <i>In situ:</i> reduction by NaBH <sub>4</sub> <i>In situ:</i> electroless deposition	SERS
Ag/TiO <sub>2</sub> /rGO	<i>In situ:</i> Ag is reduced by the photo-generated electrons from TiO <sub>2</sub> /rGO	
Ag/rGO	<i>In situ:</i> microwave assisted reduction	
Pt or Pd/GO or rGO	<i>Ex situ:</i> $\pi-\pi$ stacking via bovine serum albumin <i>In situ:</i> microwave assisted reduction	
Pd/rGO		Eletrocatalysis
Pt-on-Pd/rGO	<i>In situ:</i> sequential reduction of H <sub>2</sub> PdCl <sub>4</sub> with HCOOH, and K <sub>2</sub> PtCl <sub>6</sub> with ascorbic acid	
Cu/rGO	<i>In situ:</i> microwave assisted reduction	Catalysis
Ru/rGO	<i>In situ:</i> microwave assisted reduction	Catalysis
Rh/rGO	<i>In situ:</i> microwave assisted reduction	Optoelectronics
CdS/rGO	<i>Ex situ:</i> $\pi-\pi$ stacking via benzyl mercaptan	DSSC
TiO <sub>2</sub> /GO	<i>Ex situ:</i> non-covalent adhesion via solution mixing of P-25 TiO <sub>2</sub> and GO <i>Ex situ:</i> non-covalent adhesion via solution mixing with the GO film	Photocatalysis
TiO <sub>2</sub> /rGO	<i>Ex situ:</i> noncovalent adhesion via Nafion <i>Ex situ:</i> self-assembly of TiO <sub>2</sub> nanorods and rGO at two-phase interface <i>In situ:</i> templated hydrolysis starting with TiCl <sub>3</sub> and titanium isopropoxide <i>In situ:</i> hydrolysis starting with TiCl <sub>3</sub> <i>In situ:</i> hydrolysis starting with titanium butoxide <i>In situ:</i> hydrothermal starting with P25 and GO	Photocatalysis Photocatalysis Li ion battery DSSC Photocatalysis
ZnO/rGO	<i>In situ:</i> electrochemical deposition	Photocatalysis
Cu <sub>2</sub> O/rGO	<i>In situ:</i> electrochemical deposition	Photovoltaics
Cl-doped Cu <sub>2</sub> O/rGO	<i>In situ:</i> electrochemical deposition	Photovoltaics
Co <sub>3</sub> O <sub>4</sub> /GO or rGO	<i>Ex situ:</i> electrostatic via aminopropyltrimethoxysilane <i>In situ:</i> reduction of Co(OH) <sub>2</sub> /GO at 450 °C	Optoelectronics
Co <sub>3</sub> O <sub>4</sub> /rGO	<i>In situ:</i> microwave assisted reaction between urea and Co(NO <sub>3</sub> ) <sub>2</sub>	Li ion battery
MnO <sub>2</sub> /GO	<i>In situ:</i> redox reaction between MnCl <sub>2</sub> and KMnO <sub>4</sub>	Li ion battery
MnO <sub>2</sub> /FGS	<i>In situ:</i> microwave assisted reaction between C and KMnO <sub>4</sub>	Supercapacitor
SiO <sub>2</sub> /GO or rGO	<i>In situ:</i> redox reaction between Na <sub>2</sub> SO <sub>4</sub> and KMnO <sub>4</sub>	Supercapacitor
SiO <sub>2</sub> /FGS	<i>Ex situ:</i> electrostatic via aminopropyltrimethoxysilane	Supercapacitor
SnO <sub>2</sub> /FGS	<i>In situ:</i> hydrolysis starting with TEOS	Li ion battery
Fe <sub>3</sub> O <sub>4</sub> /rGO	<i>In situ:</i> redox reaction starting with SnCl <sub>2</sub> and H <sub>2</sub> O <sub>2</sub>	Li ion battery
Fe <sub>3</sub> O <sub>4</sub> /GO	<i>In situ:</i> hydrolysis starting with FeCl <sub>2</sub> , FeCl <sub>3</sub> and NaOH	Magnetic drug carrier
NiO/graphene	<i>In situ:</i> reaction of ferric triacetylacetone with GO in 1-methyl-2-pyrrolidone	Magnetic composite
RuO <sub>2</sub> /rGO	<i>In situ:</i> sputtering	Nanocapacitor
CdS/rGO	<i>In situ:</i> redox reaction starting with RuCl <sub>3</sub> and GO	Supercapacitor
CdS/rGO	<i>In situ:</i> chemical bath deposition	Solar cell
CdSe/CVD-graphene	<i>In situ:</i> hydrothermal starting with dimethylsulfoxide, GO and Cd(CH <sub>3</sub> COO) <sub>2</sub>	Optoelectronics
	<i>In situ:</i> electrochemical deposition templated by a porous silica film	Optoelectronics

Metodele de fabricare a componitelor sunt în general împărțite în două clase, și anume: hibridizarea ex situ și cristalizarea in situ. Hibridizarea ex situ presupune amestecarea unor nanofoițe de grafenă cu soluții de diferite nanocristale. Înainte de amestecare, de obicei, se introduce o etapă de modificare de suprafață (funcționalizare) a strukturilor de grafenă sau a nanocrystalului pentru o legare cât mai bună între ele, ori prin interacții non-covalente ori prin legături chimice. Deși în cazul hibridizării ex situ există avantajul preselectării nanostructurilor cu

anumite funcționalități dorite, apare și dezavantajul unei distribuții neuniforme a nanostructurilor pe suprafața materialelor grafenice. În cazul cristalizării in situ se ajunge la o acoperire uniformă a suprafeței grafenei datorită controlării centrilor de nucleație prin funcționalizarea suprafeței. Printre metodele in situ de cristalizare se numără: Metoda reducerii chimice, depunerea nonelectrică (electroless), metoda sol-gel, metoda hidrotermală, depunerea electrochimică, evaporarea termică, auto-asamblarea, etc [21].

## 2. Compozite cu $\text{TiO}_2$

Dioxidul de titan este unul dintre cele mai studiate materiale oxidice datorită răspândirii ridicate, reflectate în preț, non-toxicitatea, stabilității chimice și bineînțeles datorită proprietăților sale nontoxică și photocatalitice care se răsfrâng în foarte multe aplicații. Proprietățile fizico-chimice ale  $\text{TiO}_2$  variază în funcție de faza polimorfă în care se află. Cele mai uzuale forme polimorfe sunt anatasul, rutilul și brookitul, însă în literatură sunt prezentate 11 forme polimorfe [22].

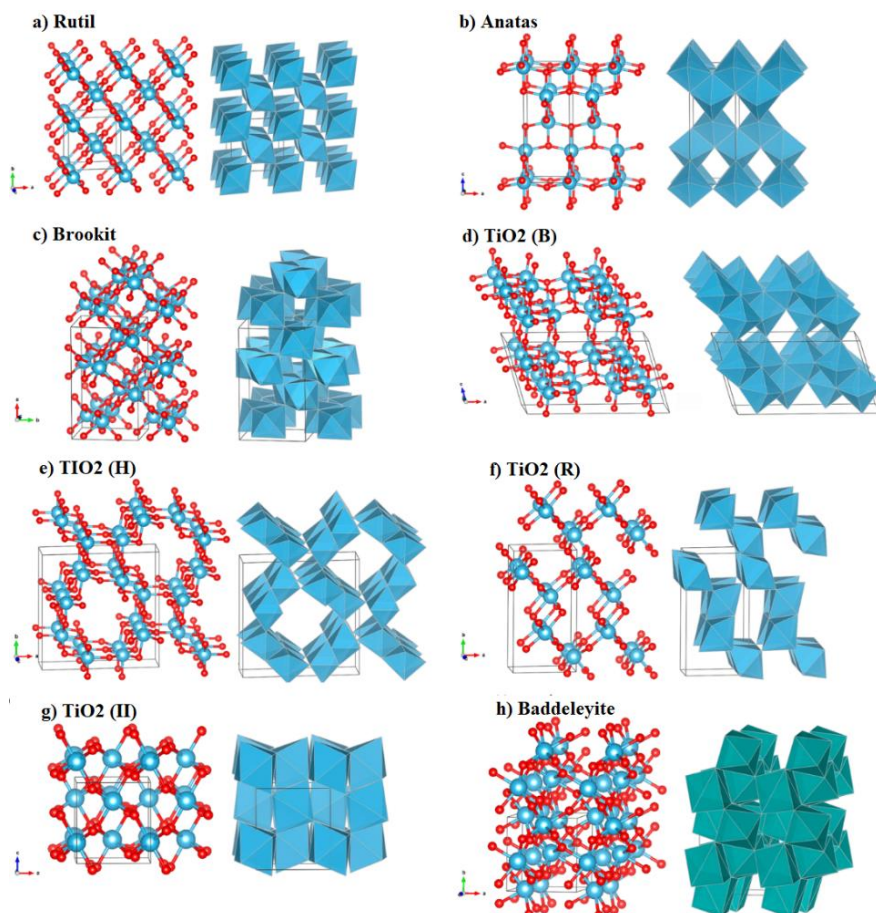


Figura 3 – Formele polimorfe ale  $\text{TiO}_2$ [22]

Până în prezent s-au sintetizat diferite forme polimorfe de  $\text{TiO}_2$  cu diferite morfologii și cu diferite aplicații prin metoda solvothermală/hidrotermală fiind o metodă relativ ieftină și ușoară. Sinteza solvothermală în câmp de microunde este o metodă mai nouă și uneori mai greu reproductibilă datorită diferențelor mari între aparatele de microunde folosite. Komareni și colaboratorii[23] au sintetizat  $\text{TiO}_2$  – rutil prin sinteza în câmp de microunde a unui amestec de  $\text{TiCl}_4$  cu o soluție de  $\text{HCl}$  care s-a transformat inițial în  $\text{TiOCl}_2$ . Ei au obținut un amestec de faze de anatas cu rutil printr-o iradiere scurtă, dar au observat că prin scăderea concentrației precursorului se obține o proporție mai mare de rutil. Nanoparticulele de  $\text{TiO}_2$  rutil le-au obținut prin tratarea soluției de  $\text{TiOCl}_2$  la  $160^\circ\text{C}$  pentru 120 de min și au observat că adiția de PVP modifică morfologia la cristale aciculare. Tot folosind  $\text{TiOCl}_2$  și sinteza hidrotermală în câmp de microunde, Ravi și colaboratorii[24] au obținut nanoparticule de  $\text{TiO}_2$ -anatase (dimensiune medie de particulă de 10 nm) prin combinarea acestuia cu ureea în raport molar de 1:5. Tot prin această metodă au fost obținute mesocristale de  $\text{TiO}_2$ -rutil[24], nanoparticule cu morfologie controlabilă prin pH[26], nanofire de  $\text{TiO}_2$ [27], nanotuburi de  $\text{TiO}_2$  etc [28].

În ceea ce privește obținerea compozitele  $\text{TiO}_2$ -grafenă (oxid de grafenă redus) Zhang și colaboratorii[29] au studiat diferența între compozitele  $\text{TiO}_2$  cu grafena și cele cu nanotuburile de carbon și au demonstrat prin mai multe teste fotocatalitice faptul că grafenă oferă un avantaj față de nanotuburile de carbon; însă au atras atenția asupra faptului că de multe ori se exagerează îmbunătățirea datorată grafenei în detrimentul nanotuburilor de carbon. Într-un studiu asemănător Liang și colaboratorii[30] compară două compozite ale  $\text{TiO}_2$  cu grafena și nanotuburile de carbon tot din punct de vedere al proprietăților catalitice însă folosirea grafenei nu este totdeauna în avantaj, însă ambele studii arată necesitatea încercării unui control mai bun de interfață între  $\text{TiO}_2$  și grafenă.

Prin metoda solvothermală/hidrotermală simplă s-au obținut diferite morfologii și structuri cu aplicații variate: structuri ierarhice de  $\text{TiO}_2$  de tip floare acoperită cu grafenă folosite pentru descompunerea albastrului de metilen[31], nanotuburi de  $\text{TiO}_2$  cu grafenă pentru descompunerea verdelui malachit[32], rețetele 3D de particule mesoporoase de  $\text{TiO}_2$  cu oxid de grafenă redus pentru construirea electrodului negativ al unei baterii Li-Ion[33], nanoparticule de  $\text{TiO}_2$  cu oxid de grafenă redus pentru descompunerea metiloranjului[34], etc.

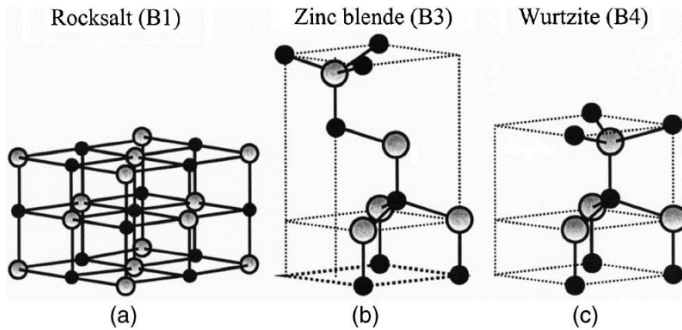
Studiile vizând obținerea compozitelor  $\text{TiO}_2$ -grafenă prin această metodă de sinteză sunt relativ puține comparativ cu celelalte metode acesta fiind unul din motivele principale pentru

dorința de a studia aceste sisteme compozite prin metoda solvothermală asistată de microunde. Pan și colaboratorii [35] au publicat un studiu privind obținerea și testarea unui astfel de material. Autorii au evidențiat proprietăți fotocatalitice mai bune în cazul compozitului comparându-l cu o pulbere uzuală de TiO<sub>2</sub> (P25). Cele mai bune performanțe au fost atinse la folosirea unui procent 0,8% procente masice oxid de grafenă redus, obținându-se o un procent ridicat de îndepărțarea a ionului Cr (VI). Tot prin această sinteză s-au obținut microparticule nanostructurate de TiO<sub>2</sub> – oxid de grafenă redus; aceste microparticule compozite fiind superioare din puncte de vedere al proprietăților electrice (specifice bateriilor) față de microparticulele simple [36]. Anumite colective de cercetare au mers puțin mai departe cu această metodă sinteză și au obținut sisteme ternare Au-TiO<sub>2</sub>-grafenă și Ag-TiO<sub>2</sub>-grafenă [37, 38] pentru aplicații fotocatalitice și de scindare a apei.

### **3. Compozite cu ZnO**

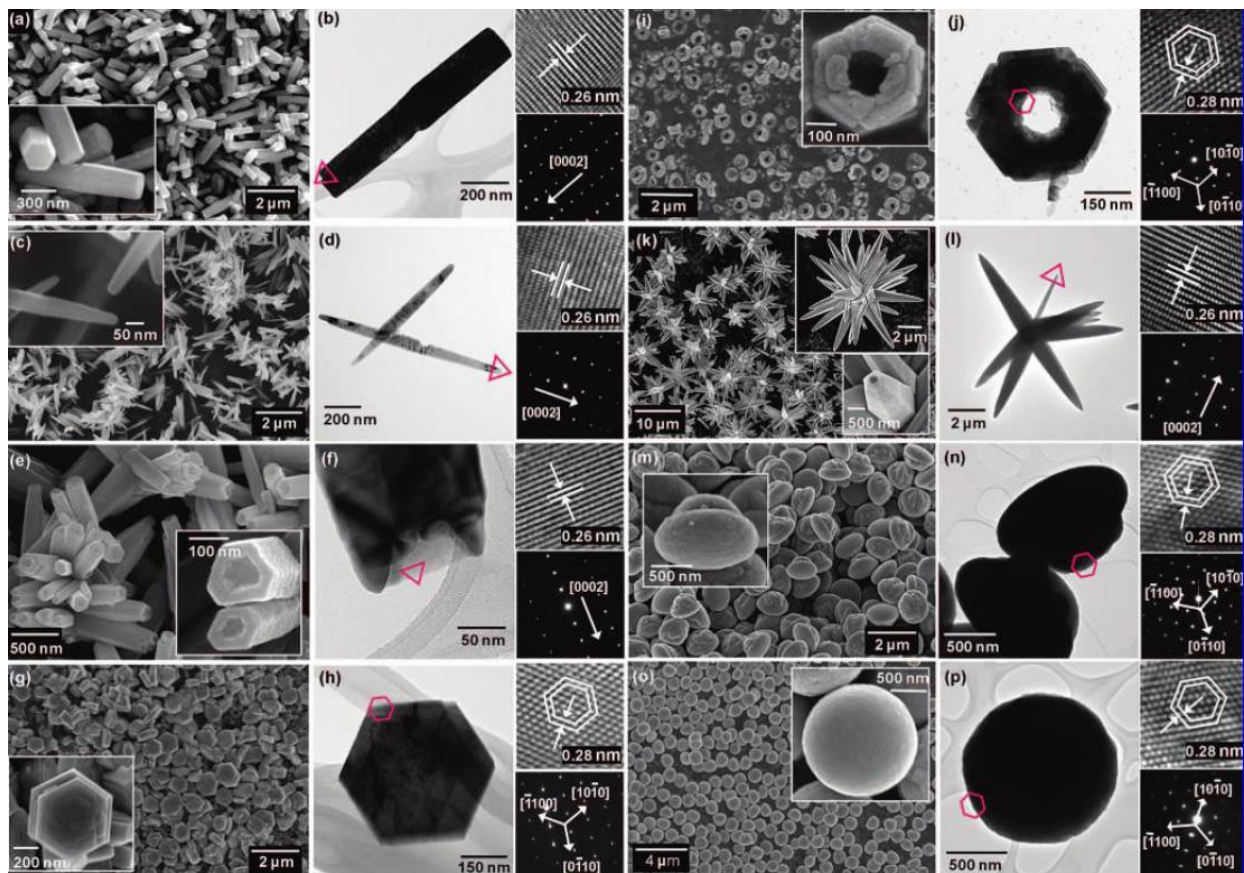
ZnO este un material studiat intensiv în ultimii ani datorită proprietăților sale, combinate cu un cost redus. Cele mai importante aplicații pentru care ZnO a devenit foarte cercetat sunt: ca material pentru optoelectronica albastră/UV (diode emițătoare de lumină LED-uri, diode laser) care să înlocuiască GaN care are un preț ridicat, ca oxid transparent conductor, când ZnO este dopat cu Al, Ga, In, pentru a putea obține un material mai ieftin, înlocuitor pentru ITO (Oxid de In dopat cu Sn), ca senzor, ca pigment, ca fotocatalizator, etc [39]. Metodele de sinteză folosite, proprietățile și diferitele aplicații sunt prezentate pe larg în următoarele lucrări din literatură [40-44].

În natură se găsește în minereul numit zincit care, de obicei, conține și mangan, precum și alte impurități. ZnO se găsește sub forma a trei structuri cristalografice: hexagonală (wurtzite), cubică (Blenda) și cubică (de tipul NaCl-sare gemă). Din punct de vedere termodinamic cea mai stabilă formă cristalină este cea de wurtzit. Forma de tip blendă poate fi obținută doar prin creșterea epitaxială pe substrat cubic, iar cea de tip sare gemă se stabilizează doar la presiuni înalte (2 GPa) [45].



**Figura 4 – Formele polimorfe ale ZnO[40]**

Prin metoda solvotermală asistată de microunde s-au sintetizat, de asemenea, și diferite morfologii de ZnO folosite pentru diverse aplicații. Prin folosirea de  $\text{Zn}(\text{NO}_3)_2 \cdot 6\text{H}_2\text{O}$  și urotropină în soluție apoasă și încălzirea în câmp de microunde la  $90^\circ\text{C}$  timp de 2 minute Hu și colaboratorii au obținut morfologii de tipul bipozi, tripozi, tetrapozi formate din nanotije [46]. Unalan și colaboratorii [47] au publicat o lucrare despre depunerea nanofirelor de ZnO pe diferite substraturi (PET, siliciu și sticlă) cu ajutorul unui cuptor de microunde comercial. Aceste nanofire au crescut pe substraturile care au fost imersate în soluția apoasă de  $\text{Zn}(\text{NO}_3)_2 \cdot 6\text{H}_2\text{O}$  cu urotropină și apoi tratate la diferite puteri ale cuptorului, presiune atmosferică și pentru timpi între 1 și 30 de minute [47]. Nanotuburi de ZnO au fost preparate prin folosirea unei soluții apoase de  $\text{Zn}(\text{NO}_3)_2 \cdot 6\text{H}_2\text{O}$  cu uree sub influența radiației microundelor de 180W putere timp de 40 minute [48]. Nanotijele de ZnO cu se pot obține prin metoda hidrotermală asistată de microunde iar pe suprafața nanotijelor se pot dezvolta structuri aciculare dense cu dimensiuni cuprinse între 10-80 de nm [49]. Diferite nanostructuri de ZnO au fost raportate de către Lee și colaboratorii printre acestea numărându-se: nanolumâneri, nanoace, nanopuliți, nanodiscuri, etc și au fost obținute prin tratarea la  $90^\circ\text{C}$  și la o putere mică (de aproximativ 50 W), urmate apoi de un proces de îmbătrânire [50]. Yu și colaboratorii [51] au sintetizat nanotije de ZnO monocristal prin tratarea  $\text{Zn}(\text{NO}_3)_2 \cdot 6\text{H}_2\text{O}$  cu amoniac și CTAB la  $150^\circ\text{C}$  timp de o oră.



**Figura 5 – Imagini de microscopie electronică de baleaj-stânga și microscopie electronică prin transmisie-dreapta pentru diferite morfologii de ZnO: a) și b)-nanotige; c) și d)-nanoace; e) și f)-nanolumânări; g) și h)-nanodiscuri; i) și j) – nanopipiulițe; k) și l) – microstele; m) și n) – microOZN-uri; și o) și p) - microibile[50]**

El-Shall și colaboratorii[52] au sintetizat nanopiramide de ZnO pe suprafața oxidului de grafenă redus folosind  $\text{Zn}(\text{CH}_3\text{COO})_2 \cdot 2\text{H}_2\text{O}$  și oxid de grafenă produs prin metoda Hummers și ca mediu de reacție un amestec de acid oleic și oleilamină. Amestecul a fost tratat într-un cuptor cu microunde comercial la  $120^\circ\text{C}$  și presiune atmosferică pentru 1 oră. Compozite Grafenă/ZnO au fost preparate pornind de la  $\text{ZnSO}_4 \cdot 7\text{H}_2\text{O}$ ,  $\text{NaOH}$  și oxid de grafit, ajustând pH-ul la 9 și tratând amestecul la  $150^\circ\text{C}$  pentru 30 de minute. Compozitul obținut era compus din particule de 5-10 nm de ZnO dispuse dens pe suprafața oxidului de grafenă redus [53].

În literatură apar de asemenea și sisteme ternare de tipul ZnO-Oxid de grafenă redus-Metal. Micro-nano-compozite de tipul ZnO/rGO/Ag au fost sintetizate de către Li și colaboratorii[54] pornind de la un amestec de precursori uzuali ( $\text{Zn}(\text{CH}_3\text{COO})_2 \cdot 2\text{H}_2\text{O}$ ,  $\text{AgNO}_3$  și oxid de grafenă) tratat la temperatura de  $100^\circ\text{C}$  timp de 30 minute la o putere de 120W.

## 4. Compozite cu $\text{Fe}_2\text{O}_3$

Fierul este al patrulea cel mai abundant element din scoarța terestră iar datorită ușurinței de oxidare al fierului în aer, oxizii de fier ( $\text{FeO}$  – oxid feros,  $\text{Fe}_2\text{O}_3$  – oxid feric și  $\text{Fe}_3\text{O}_4$  – oxid fero-feric) sunt foarte răspândiți în natură. Structurile cristaline ale diferitelor forme de oxizi ai Fe precum și proprietățile acestora sunt prezentate pe larg în cartea publicată de către Cornell și Schwertmann[55]. Dintre toate formele de oxizi de Fe,  $\alpha\text{-Fe}_2\text{O}_3$  – hematitul este forma ce mai răspândită și de asemenea, și cea mai stabilă din punct de vedere termodinamic. Oxidul de Fe (III) este prezent sub forma a patru forme cristaline polimorfe ( $\alpha$ ,  $\beta$ ,  $\gamma$  și  $\varepsilon$ ), iar dintre acestea doar  $\alpha\text{-Fe}_2\text{O}_3$  și  $\gamma\text{-Fe}_2\text{O}_3$  sunt prezente în natură, celelalte două fiind forme sintetizate în laborator [56].

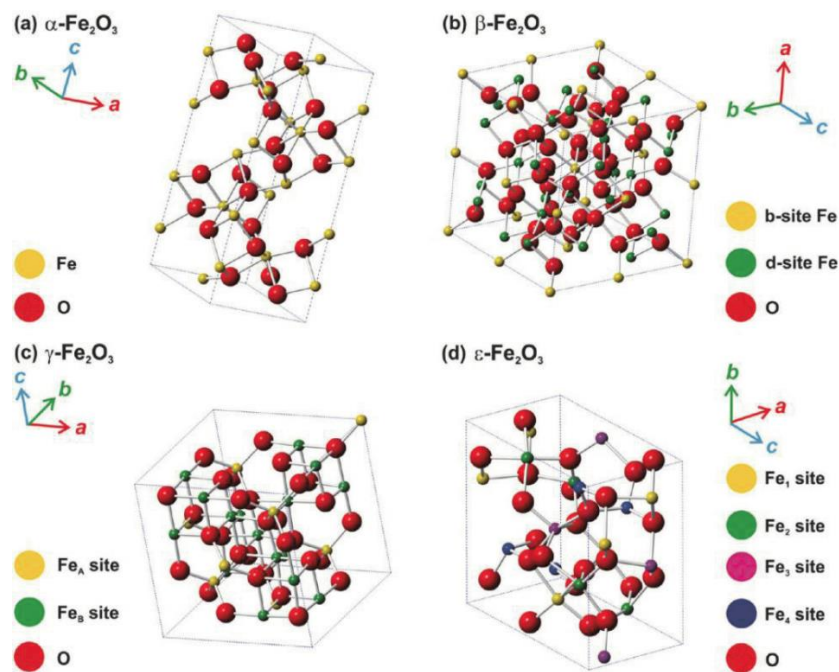
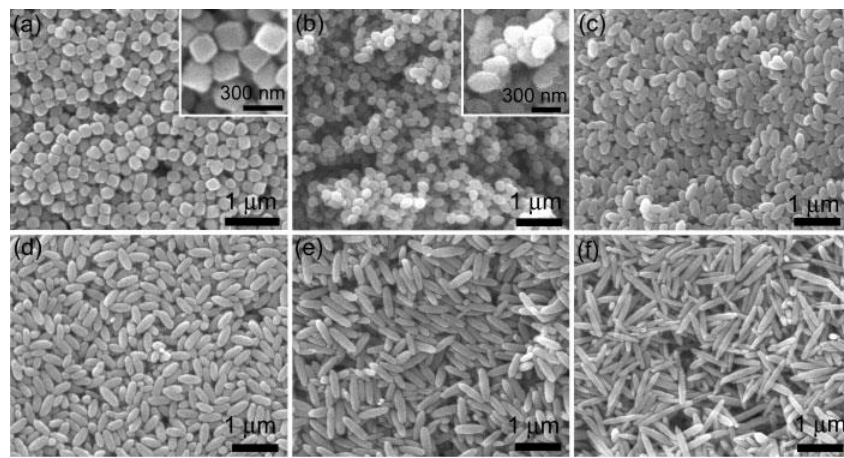


Figura 6 – Reprezentarea grafică a structurilor cristaline de  $\text{Fe}_2\text{O}_3$ : a)  $\alpha\text{-Fe}_2\text{O}_3$ , b)  $\beta\text{-Fe}_2\text{O}_3$ , c)  $\gamma\text{-Fe}_2\text{O}_3$  și d)  $\varepsilon\text{-Fe}_2\text{O}_3$  [56]

Transformările polimorfe ale  $\text{Fe}_2\text{O}_3$  de dimensiuni nanometrice sunt prezentate pe larg în studiul publicat de către Zboril și colaboratorii [56]. Interesul pentru hematit este destul de mare datorită proprietăților sale promițătoare pentru aplicații photocatalitice. Hematitul începe să absoarbă fotoni din regiunea de infraroșu apropiat și are o bandă interzisă cuprinsă între 1,9 și 2,2 eV, este stabil din punct de vedere chimic și are un preț scăzut, însă timpul de viață scurt al purtătorilor de sarcină diminuează viteza de dezvoltare a dispozitivelor bazate pe acesta.

Proprietățile hematitului, diferite metode de sinteză și diferențele strategii de folosire a acestuia ca fotocatalizator atât unitar cât și în componete sunt prezentate în mai multe review-uri [57-61].

Până prezent s-au obținut diferite nanostructuri de  $\alpha\text{-Fe}_2\text{O}_3$  prin metoda hidrotermală/solvothermală asistată de microunde. Particule de 23-25 nm diametru de  $\alpha\text{-Fe}_2\text{O}_3$  au fost sintetizate plecând de la o soluție 0,02 M de  $\text{Fe}(\text{NO}_3)_3 \cdot 9\text{H}_2\text{O}$  la 100°C timp de 4 h, comparând în același timp această metodă cu metoda hidrotermală convențională și observând o distribuție mai uniformă a dimensiunilor de particulă și un timp de reacție mai scurt pentru metoda asistată de microunde [62]. Dimensiuni mai mici de particule de  $\alpha\text{-Fe}_2\text{O}_3$  (de 5 nm) au fost obținute de către Suib și colaboratorii[63] care au pornit de la soluție apoasă de  $\text{Fe}(\text{NO}_3)_3$  și uree tratată la 120°C pentru 30 de min. Nanotije de  $\alpha\text{-Fe}_2\text{O}_3$  au fost obținute pornind de la un amestec  $\text{FeCl}_3 \cdot 6\text{H}_2\text{O}$  și polivinilpirolidonă (PVP) tratat la diferite temperaturi între 120 și 180°C pentru 2 ore la o putere de aproximativ 480W [64]. Hu și colaboratorii[65] au raportat sinteza rapidă a unor cristale de  $\alpha\text{-Fe}_2\text{O}_3$  monodispersate cu diferite morfologii precum elipsoide/ace cu raportul diagonalelor cuprins între 1,1 și 6,3, nanofoițe, nanoinele și sfere. Morfologia este influențată de raportul molar între precursorii  $\text{FeCl}_3$  și  $\text{NH}_4\text{H}_2\text{PO}_4$  care este variat între 12,5 și 200. Nanoinele au fost obținute prin folosirea unui amestec  $\text{FeCl}_3 \cdot 6\text{H}_2\text{O}$  și  $\text{NH}_4\text{H}_2\text{PO}_4$  tratat la 220°C timp de 25 min. Autorii au studiat și mecanismul de formare al inelelor în timp [66]. Structuri ierarhice și dendritice de  $\alpha\text{-Fe}_2\text{O}_3$  au fost obținute pornind de la diferite concentrații de  $\text{K}_3[\text{Fe}(\text{CN})_6]$  tratate la temperaturi diferite între 120 și 250°C timp de 10 minute [67].



**Figura 7 – Imaginile de microscopie electronică de baleaj pentru probele de  $\alpha\text{-Fe}_2\text{O}_3$  obținute la diferite rapoarte molare între  $\text{FeCl}_3$  și  $\text{NH}_4\text{H}_2\text{PO}_4$ : a) fără  $\text{NH}_4\text{H}_2\text{PO}_4$ , b) 200, c) 100, d) 80, e) 53, f) 40.[65]**

Compozite  $\alpha$ -Fe<sub>2</sub>O<sub>3</sub> – oxid de grafenă redus/grafenă cu diferite morfologii și dimensionalități au fost preparate atât prin metoda solvothermală simplă cât și prin cea asistată de microunde. Nanocuburi de  $\alpha$ -Fe<sub>2</sub>O<sub>3</sub> cu dimensiuni între 10 și 30 nm dispersate uniform pe suprafața oxidului de grafenă redus au fost obținute prin metoda solvothermală simplă la 180°C timp de 8h pornind de la un amestec de FeCl<sub>3</sub>•6H<sub>2</sub>O și uree [68]. O structură stratificată de nanodiscuri de  $\alpha$ -Fe<sub>2</sub>O<sub>3</sub> dispuse pe oxid de grafenă redus a fost obținută pornind de la amestecul format din FeCl<sub>3</sub>•6H<sub>2</sub>O, oxid de grafenă și silicat de sodiu, tratat hidrotermal la 140°C timp de 24 de ore [69]. Nanocristale de  $\alpha$ -Fe<sub>2</sub>O<sub>3</sub> de aproximativ 50 nm dispersate pe oxid de grafenă redus a fost obținut folosind L-arginina ca agent de control al hidrolizării amestecului Fe(NO<sub>3</sub>)<sub>3</sub>•9H<sub>2</sub>O și oxid de grafenă tratat la 180°C timp de 12 ore [70]. Compozite  $\alpha$ -Fe<sub>2</sub>O<sub>3</sub>-grafenă cu diferite morfologii au fost obținute pornind de la diferite rapoarte de FeCl<sub>3</sub> și NH<sub>4</sub>H<sub>2</sub>PO<sub>4</sub> în amestec cu oxid de grafenă tratat hidrotermal asistat de microunde la 200°C timp de 20 minute [71].

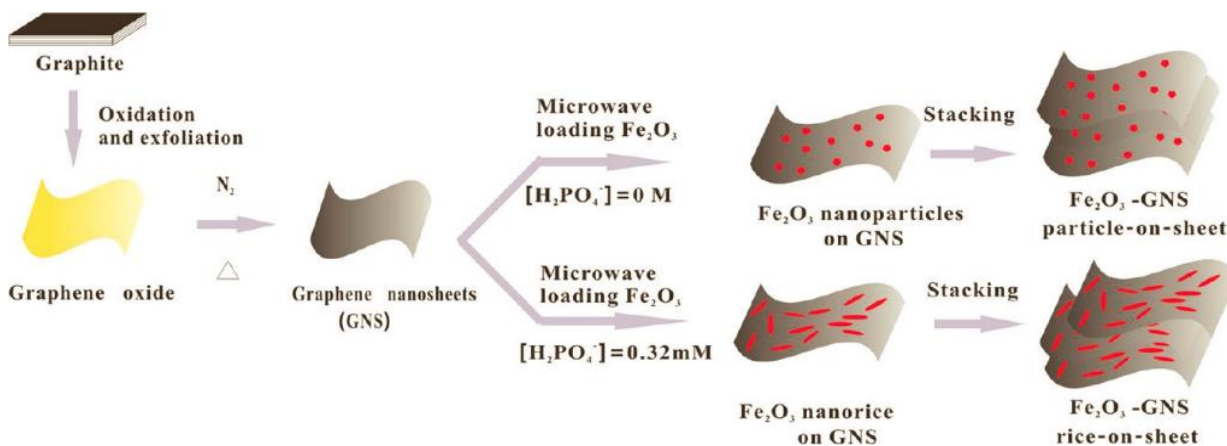


Figura 8 – Ilustrarea schematică a procesului de formare a compozitelor Fe<sub>2</sub>O<sub>3</sub>/Oxid de grafenă redus[71]

## 5. Compozite cu hidroxiapatită (HAp)

Hidroxiapatita -  $\text{Ca}_{10}(\text{PO}_4)_6(\text{OH})_2$  este un derivat de tip hidroxilic ce provine din clasa generală a apatitelor, fiind un fosfat al calciului ce prezintă gruparea funcțională  $-\text{OH}$ . Din punct de vedere fizic, se prezintă sub formă unei pulberi de culoare albă, având o duritate egală cu 5 evaluată pe scara Mohs, prin urmare poate conferi matricei organice colagenice o ușoară rezistență mecanică [72]. Aceasta cristalizează într-o rețea hexagonală, reprezentarea acesteia fiind redată în figura 9:

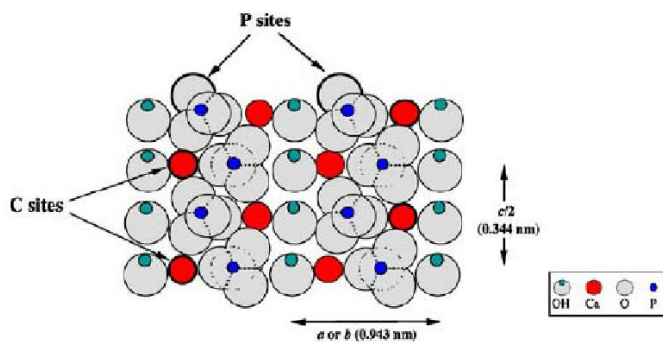


Figura 9. Rețeaua cristalină a hidroxiapatitei (HAp) [73]

Studiile recente arată un interes crescut pentru aplicațiile hidroxiapatitei în ingineria țesutului osos, implanturi ortopedice, ca suport de medicamente sau ca biosenzori [74-77].

Întrucât gradul de cristalinitate, forma și dimensiunea particulelor sintetice de HAp afectează puternic proprietățile fizice și chimice precum și biofizic, s-a acordat o atenție sporită obținerii unor morfologii diferite, inclusiv nanofibre, nanotuburi, nanoroduri și structuri tridimensionale prin diverse metode precum: metoda sol-gel, metoda hidrotermală și co-precipitare [77,78].

Cu toate acestea, proprietățile mecanice slabe, rezistența la rupere și suprafața specifică inferioară (SSA) comparativ cu oasele naturale limitează aplicațiile sale pentru a substitui diferite părți ale sistemelor osoase și alte aplicații biomedicale. Pentru îmbunătății aceste proprietăți, hidroxiapatita a fost ranforsată alte materiale organice și anorganice, precum: polimerii, titan, aliajele de titan, siliciu, chitosan, particule de carbon și oxid de grafenă [79-84]

Dintre toate acestea materiale hibride, materialele carbonice sau cu derivați carbonici prezintă o rezistență mecanică și chimică ridicată și sunt recunoscute, în general, datorită biocompatibilității bune.

În prezent există un interes deosebit în utilizarea grafenei, a nanotuburilor de carbon și a oxidului de grafenă (GO) pentru a îmbunătăți proprietățile mecanice și compatibilitatea biologică a nanoparticulelor fosfat de calciu și hidroxiapatită (HAp) [85,86]

În studiul realizat recent Ramadas et all [87] sintetizează cu succes nanocompozite de tip GO/HAp folosind bromură de cetiltrimetilamoniu ca agent template cu posibile aplicații în ingineria tisulară. Acest compozit îmbunătăște proliferarea celulelor osteobaste umane confirmând astfel potențialul nanocompozitelor GO-HAp pentru aplicații biologică și/sau medicale.

## **6. Concluzii și perspective**

În momentul actual accentul se pune pe utilizarea unor materiale sintetice în vederea dezvoltării unor terapii alternative pentru tratarea unor probleme medicale vaste. Fie ca vorbim de regenerarea tisulară, tratarea unor afecțiuni reumatice, înlocuirea unor oase afectate, sau că vorbim de încercarea de tratare/ameliorare a cancerului – se pot utiliza o gamă largă de materiale sintetice precum: hidroxiapatită, oxidul de zinc, oxidul de titan, oxidul de grafenă, nanotuburile de carbon etc.

Materialele carbonice sunt tot mai intens studiate datorita performanțelor lor mecanice, electrice, abilității de funcționalizare, capacitatea de adsorbție și eliberare de substanțe biologic active, etc. În prezent, materialele carbonice sunt intens studiate pentru aplicații medicale, în special ca platforme utilizate pentru tratamentul cancerului dar și pentru utilizarea lor în ingineria tisulară datorită proprietăților mecanice induse de prezența lor, chiar și la concentrații mici.

Pentru obținerea unor proprietăți îmbunătățite adesea se recurge la combinare a doua sau mai multe materiale obținându-se astfel materiale de tip hibrid sau componete nanostructurate.

Pornind de la aceste considerente, obiectivul principal al acestui demers științific se va lega de obținerea unor materiale pe bază de carbon (de exemplu: oxid de grafenă cu hidroxiapatită și oxid de grafenă cu oxid de zinc) prin utilizarea unor rute de sinteză convenționale și neconvenționale și caracterizarea lor.

Analiza fizico-chimică și morfo-structurală a acestor se va realiza utilizând tehnici de top precum: difracția de raze X, Microscopia electronică de baleaj, spectroscopia FT-IR și RAMAN.

## 7. Bibliografie

- [1]. Novoselov, K.S., et al., *Electric Field Effect in Atomically Thin Carbon Films*. Science, 2004. **306**(5696): p. 666-669.
- [2]. Geim, A.K. and K.S. Novoselov, *The rise of graphene*. Nat Mater, 2007. **6**(3): p. 183-191.
- [3]. Allen, M.J., V.C. Tung, and R.B. Kaner, *Honeycomb Carbon: A Review of Graphene*. Chemical Reviews, 2009. **110**(1): p. 132-145.
- [4]. Geim, A.K., *Graphene: Status and Prospects*. Science, 2009. **324**(5934): p. 1530-1534.
- [5]. Li, X., et al., *Transfer of Large-Area Graphene Films for High-Performance Transparent Conductive Electrodes*. Nano Letters, 2009. **9**(12): p. 4359-4363.
- [6]. Lee, J.-U., D. Yoon, and H. Cheong, *Estimation of Young's Modulus of Graphene by Raman Spectroscopy*. Nano Letters, 2012. **12**(9): p. 4444-4448.
- [7]. Moser, J., A. Barreiro, and A. Bachtold, *Current-induced cleaning of graphene*. Applied Physics Letters, 2007. **91**(16): p. -.
- [8]. Yang, W., et al., *Epitaxial growth of single-domain graphene on hexagonal boron nitride*. Nature Materials, 2013. **12**(9): p. 792-797.
- [9]. Novoselov, K.S., et al., *Two-dimensional atomic crystals*. Proceedings of the National Academy of Sciences of the United States of America, 2005. **102**(30): p. 10451-10453.
- [10]. Schniepp, H.C., et al., *Functionalized Single Graphene Sheets Derived from Splitting Graphite Oxide*. The Journal of Physical Chemistry B, 2006. **110**(17): p. 8535-8539.
- [11]. Bai, H., C. Li, and G. Shi, *Functional Composite Materials Based on Chemically Converted Graphene*. Advanced Materials, 2011. **23**(9): p. 1089-1115.
- [12]. Edwards, R.S. and K.S. Coleman, *Graphene synthesis: relationship to applications*. Nanoscale, 2013. **5**(1): p. 38-51.
- [13]. Martín, A. and A. Escarpa, *Graphene: The cutting-edge interaction between chemistry and electrochemistry*. TrAC Trends in Analytical Chemistry, 2014. **56**(0): p. 13-26.
- [14]. Eigler, S. and A. Hirsch, *Chemistry with Graphene and Graphene Oxide—Challenges for Synthetic Chemists*. Angewandte Chemie International Edition, 2014. **53**(30): p. 7720-7738.
- [15]. Dreyer, D.R., A.D. Todd, and C.W. Bielawski, *Harnessing the chemistry of graphene oxide*. Chemical Society Reviews, 2014. **43**(15): p. 5288-5301.
- [16]. Yin, Z., et al., *Graphene-Based Materials for Solar Cell Applications*. Advanced Energy Materials, 2014. **4**(1): p. n/a-n/a.
- [17]. Lawal, A.T., *Synthesis and utilisation of graphene for fabrication of electrochemical sensors*. Talanta, 2015. **131**(0): p. 424-443.
- [18]. Kyzas, G.Z., E.A. Deliyanni, and K.A. Matis, *Graphene oxide and its application as an adsorbent for wastewater treatment*. Journal of Chemical Technology & Biotechnology, 2014. **89**(2): p. 196-205.
- [19]. Yang, K., et al., *The influence of surface chemistry and size of nanoscale graphene oxide on photothermal therapy of cancer using ultra-low laser power*. Biomaterials, 2012. **33**(7): p. 2206-2214.
- [20]. Gadipelli, S. and Z.X. Guo, *Graphene-based materials: Synthesis and gas sorption, storage and separation*. Progress in Materials Science, 2015. **69**(0): p. 1-60.
- [21]. Huang, X., et al., *Graphene-based composites*. Chemical Society Reviews, 2012. **41**(2): p. 666-686.

- [22]. Zhang, H. and J.F. Banfield, *Structural Characteristics and Mechanical and Thermodynamic Properties of Nanocrystalline TiO<sub>2</sub>*. Chemical Reviews, 2014. **114**(19): p. 9613-9644.
- [23]. Baldassari, S., et al., *Microwave-hydrothermal process for the synthesis of rutile*. Materials Research Bulletin, 2005. **40**(11): p. 2014-2020.
- [24]. Murugan, A.V., V. Samuel, and V. Ravi, *Synthesis of nanocrystalline anatase TiO<sub>2</sub> by microwave hydrothermal method*. Materials Letters, 2006. **60**(4): p. 479-480.
- [25]. Zhang, D., et al., *Green synthesis of a self-assembled rutile mesocrystalline photocatalyst*. Crystengcomm, 2010. **12**(6): p. 1759-1763.
- [26]. Suprabha, T., et al., *Microwave-assisted synthesis of titania nanocubes, nanospheres and nanorods for photocatalytic dye degradation*. Nanoscale Research Letters, 2009. **4**(2): p. 144-152.
- [27]. Li, L., et al., *Synthesis of anatase TiO<sub>2</sub> nanowires by modifying TiO<sub>2</sub> nanoparticles using the microwave heating method*. Applied Surface Science, 2011. **257**(18): p. 8006-8012.
- [28]. Wu, X., et al., *Synthesis of titania nanotubes by microwave irradiation*. Solid State Communications, 2005. **136**(9–10): p. 513-517.
- [29]. Zhang, Y., et al., *Engineering the Unique 2D Mat of Graphene to Achieve Graphene-TiO<sub>2</sub> Nanocomposite for Photocatalytic Selective Transformation: What Advantage does Graphene Have over Its Forebear Carbon Nanotube?* Acc Nano, 2011. **5**(9): p. 7426-7435.
- [30]. Liang, Y.T., et al., *Effect of Dimensionality on the Photocatalytic Behavior of Carbon-Titania Nanosheet Composites: Charge Transfer at Nanomaterial Interfaces*. The Journal of Physical Chemistry Letters, 2012. **3**(13): p. 1760-1765.
- [31]. Lui, G., et al., *Graphene-wrapped hierarchical TiO<sub>2</sub> nanoflower composites with enhanced photocatalytic performance*. Journal of Materials Chemistry A, 2013. **1**(39): p. 12255-12262.
- [32]. Perera, S.D., et al., *Hydrothermal Synthesis of Graphene-TiO<sub>2</sub> Nanotube Composites with Enhanced Photocatalytic Activity*. ACS Catalysis, 2012. **2**(6): p. 949-956.
- [33]. Yu, S.X., et al., *Mesoporous anatase TiO<sub>2</sub> submicrospheres embedded in self-assembled three-dimensional reduced graphene oxide networks for enhanced lithium storage*. Journal of Materials Chemistry A, 2013. **1**(41): p. 12750-12758.
- [34]. Long, M., et al., *Origin of Visible Light Photoactivity of Reduced Graphene Oxide/TiO<sub>2</sub> by in Situ Hydrothermal Growth of Undergrown TiO<sub>2</sub> with Graphene Oxide*. The Journal of Physical Chemistry C, 2013. **117**(32): p. 16734-16741.
- [35]. Liu, X., et al., *Microwave-assisted synthesis of TiO<sub>2</sub>-reduced graphene oxide composites for the photocatalytic reduction of Cr(vi)*. Rsc Advances, 2011. **1**(7): p. 1245-1249.
- [36]. Yan, X., et al., *Synthesis and optimizable electrochemical performance of reduced graphene oxide wrapped mesoporous TiO<sub>2</sub> microspheres*. Nanoscale, 2014. **6**(8): p. 4108-4116.
- [37]. Yang, Y., et al., *One pot microwave-assisted synthesis of Ag decorated yolk@shell structured TiO<sub>2</sub> microspheres*. Rsc Advances, 2015. **5**(15): p. 11349-11357.
- [38]. Yang, Y., et al., *Photocatalytic activity of Ag-TiO<sub>2</sub>-graphene ternary nanocomposites and application in hydrogen evolution by water splitting*. International Journal of Hydrogen Energy, 2014. **39**(15): p. 7664-7671.
- [39]. Klingshirn, C., *ZnO: From basics towards applications*. physica status solidi (b), 2007. **244**(9): p. 3027-3073.

- [40]. Özgür, Ü., et al., *A comprehensive review of ZnO materials and devices*. Journal of Applied Physics, 2005. **98**(4): p. 041301.
- [41]. Ozgur, U., D. Hofstetter, and H. Morkoc, *ZnO Devices and Applications: A Review of Current Status and Future Prospects*. Proceedings of the IEEE, 2010. **98**(7): p. 1255-1268.
- [42]. Ludi, B. and M. Niederberger, *Zinc oxide nanoparticles: chemical mechanisms and classical and non-classical crystallization*. Dalton Transactions, 2013. **42**(35): p. 12554-12568.
- [43]. Lu, M.-P., M.-Y. Lu, and L.-J. Chen, *p-Type ZnO nanowires: From synthesis to nanoenergy*. Nano Energy, 2012. **1**(2): p. 247-258.
- [44]. Cui, J., *Zinc oxide nanowires*. Materials Characterization, 2012. **64**(0): p. 43-52.
- [45]. Moezzi, A., A.M. McDonagh, and M.B. Cortie, *Zinc oxide particles: Synthesis, properties and applications*. Chemical Engineering Journal, 2012. **185-186**(0): p. 1-22.
- [46]. Hu, X.-L., Y.-J. Zhu, and S.-W. Wang, *Sonochemical and microwave-assisted synthesis of linked single-crystalline ZnO rods*. Materials Chemistry and Physics, 2004. **88**(2-3): p. 421-426.
- [47]. Husnu Emrah, U., et al., *Rapid synthesis of aligned zinc oxide nanowires*. Nanotechnology, 2008. **19**(25): p. 255608.
- [48]. Kong, X.-r., et al., *A Novel Route to Prepare ZnO Nanotubes by Using Microwave Irradiation Method*. Chemistry Letters, 2007. **36**(3): p. 428-429.
- [49]. Liu, H., et al., *Microwave assisted hydrothermal synthesis of hierarchical structured ZnO nanorods*. Materials Technology, 2011. **26**(2): p. 62-66.
- [50]. Cho, S., S.-H. Jung, and K.-H. Lee, *Morphology-Controlled Growth of ZnO Nanostructures Using Microwave Irradiation: from Basic to Complex Structures*. The Journal of Physical Chemistry C, 2008. **112**(33): p. 12769-12776.
- [51]. Rai, P., et al., *Microwave assisted hydrothermal synthesis of single crystalline ZnO nanorods for gas sensor application*. Materials Letters, 2012. **68**(0): p. 90-93.
- [52]. Herring, N., et al., *Enhanced photocatalytic activity of ZnO-graphene nanocomposites prepared by microwave synthesis*. Journal of Nanoparticle Research, 2012. **14**(12): p. 1-13.
- [53]. Lu, T., et al., *Microwave-assisted synthesis of graphene-ZnO nanocomposite for electrochemical supercapacitors*. Journal of Alloys and Compounds, 2011. **509**(18): p. 5488-5492.
- [54]. Meng, A., et al., *Rapid synthesis of a flower-like ZnO/rGO/Ag micro/nano-composite with enhanced photocatalytic performance by a one-step microwave method*. Rsc Advances, 2014. **4**(104): p. 60300-60305.
- [55]. Cornell, R.M. and U. Schwertmann, *Crystal Structure*, in *The Iron Oxides* 2004, Wiley-VCH Verlag GmbH & Co. KGaA. p. 9-38.
- [56]. Machala, L., J. Tuček, and R. Zbořil, *Polymorphous Transformations of Nanometric Iron(III) Oxide: A Review*. Chemistry of Materials, 2011. **23**(14): p. 3255-3272.
- [57]. Tuček, J., et al., *Iron-Oxide-Supported Nanocarbon in Lithium-Ion Batteries, Medical, Catalytic, and Environmental Applications*. ACS Nano, 2014. **8**(8): p. 7571-7612.
- [58]. Shen, S., *Toward efficient solar water splitting over hematite photoelectrodes*. Journal of Materials Research, 2014. **29**(01): p. 29-46.
- [59]. Bassi, P.S., et al., *Iron based photoanodes for solar fuel production*. Physical Chemistry Chemical Physics, 2014. **16**(24): p. 11834-11842.

- [60]. Wheeler, D.A., et al., *Nanostructured hematite: synthesis, characterization, charge carrier dynamics, and photoelectrochemical properties*. Energy & Environmental Science, 2012. **5**(5): p. 6682-6702.
- [61]. Sivula, K., F. Le Formal, and M. Grätzel, *Solar Water Splitting: Progress Using Hematite ( $\alpha$ -Fe<sub>2</sub>O<sub>3</sub>) Photoelectrodes*. ChemSusChem, 2011. **4**(4): p. 432-449.
- [62]. Katsuki, H., et al., *Rapid Synthesis of Monodispersed  $\alpha$ -Fe<sub>2</sub>O<sub>3</sub> Nanoparticles from Fe(NO<sub>3</sub>)<sub>3</sub> Solution by Microwave Irradiation*. Journal of the Ceramic Society of Japan, 2004. **112**(1307): p. 384-387.
- [63]. Qiu, G., et al., *Microwave-Assisted Hydrothermal Synthesis of Nanosized  $\alpha$ -Fe<sub>2</sub>O<sub>3</sub> for Catalysts and Adsorbents*. The Journal of Physical Chemistry C, 2011. **115**(40): p. 19626-19631.
- [64]. Zhang, X. and Q. Li, *Microwave assisted hydrothermal synthesis and magnetic property of hematite nanorods*. Materials Letters, 2008. **62**(6-7): p. 988-990.
- [65]. Hu, X. and J.C. Yu, *Continuous Aspect-Ratio Tuning and Fine Shape Control of Monodisperse  $\alpha$ -Fe<sub>2</sub>O<sub>3</sub> Nanocrystals by a Programmed Microwave-Hydrothermal Method*. Advanced Functional Materials, 2008. **18**(6): p. 880-887.
- [66]. Hu, X., et al.,  *$\alpha$ -Fe<sub>2</sub>O<sub>3</sub> Nanorings Prepared by a Microwave-Assisted Hydrothermal Process and Their Sensing Properties*. Advanced Materials, 2007. **19**(17): p. 2324-2329.
- [67]. Hu, X., J.C. Yu, and J. Gong, *Fast Production of Self-Assembled Hierarchical  $\alpha$ -Fe<sub>2</sub>O<sub>3</sub> Nanoarchitectures*. The Journal of Physical Chemistry C, 2007. **111**(30): p. 11180-11185.
- [68]. Liu, A., et al., *One-pot hydrothermal synthesis of hematite-reduced graphene oxide composites for efficient removal of malachite green from aqueous solution*. RSC Advances, 2015. **5**(22): p. 17336-17342.
- [69]. Qu, J., et al., *Layer Structured  $\alpha$ -Fe<sub>2</sub>O<sub>3</sub> Nanodisk/Reduced Graphene Oxide Composites as High-Performance Anode Materials for Lithium-Ion Batteries*. ACS Applied Materials & Interfaces, 2013. **5**(9): p. 3932-3936.
- [70]. Zhang, H., L. Zhou, and C. Yu, *Highly crystallized Fe<sub>2</sub>O<sub>3</sub> nanocrystals on graphene: a lithium ion battery anode material with enhanced cycling*. RSC Advances, 2014. **4**(1): p. 495-499.
- [71]. Zou, Y., J. Kan, and Y. Wang, *Fe<sub>2</sub>O<sub>3</sub>-Graphene Rice-on-Sheet Nanocomposite for High and Fast Lithium Ion Storage*. The Journal of Physical Chemistry C, 2011. **115**(42): p. 20747-20753.
- [72]. P. X. M. Guobao Wei, "Structure and properties of nano- hydroxyapatite polymer composite scaffolds for bone tissue engineering," Biomat., vol. 25, no. 19, pp. 4749-4757, 2004
- [73]. O. Moradi, K.. Zare, *Adsorption Study of the Lysozyme from aqueous solution onto Hydroxyapatite Nanopowders*. Chem. IAU Iran, 2011, 7(4): 263-271, ISSN: 1735-2126
- [74]. D.A. Wahl, J.T. Czernuszka, *Collagen-Hydroxyapatite composite for hard tissue repair*, Eur. Cells Mater. 11 (2006) 43e56.
- [75]. Guo-hui Wang, Yan-zhong Zhao, Juan Tan, Shai-hong Zhu, Ke-chao Zhou, *Arginine functionalized hydroxyapatite nanoparticles and its bioactivity for gene delivery*, Trans. Nonferr. Met. Soc. China 25 (2015) 490e496.
- [76]. Chao Qi, Ying-Jie Zhu, Bing-Qiang Lu, Xin-Yu Zhao, Jing Zhao, Feng Chen, *Hydroxyapatite nanosheets-assembled porous hollow microspheres: DNAtemplated*

- hydrothermal synthesis, drug delivery and protein adsorption*, J. Mater. Chem. 22 (2012) 22642.
- [77] G. Bharath, Rajesh Madhu, Shen-Ming Chen, Vedyappan Veeramani, A. Balamurugan, D. Mangalaraj, C. Viswanathan, N. Ponpandian, *Enzymatic electrochemical glucose biosensors by mesoporous 1D hydroxyapatite-on-2D reduced graphene oxide*, J. Mater. Chem. B 3 (2015) 1360e1370
- [78] G. Bharath, A. Jagadeesh Kumar, K. Karthick, D. Mangalaraj, C. Viswanathan, N. Ponpandian, *Shape evolution and size controlled synthesis of mesoporous hydroxyapatite nanostructures and their morphology dependent Pb(II) removal from wast water*, RSC Adv. 4 (2014) 37446e37457.
- [79] Yu-Peng Lu, Mu-Sen Li, Shi-Tong Li, Zhi-Gang Wang, Rui-Fu Zhu, *Plasmasprayed hydroxyapatite/titania composite bond coat for hydroxyapatite coating on titanium substrate*, Biomaterial 25 (2004) 4393e4403.
- [80] A. Balamurugan, A.H.S. Rebelo, S. Kannan, J.M.F. Ferreira, J. Michel, G. Balossier, S. Rajeswari, *Characterization and in vivo evaluation of sol-gel derived hydroxyapatite coatings on Ti6Al4V substrates*, J. Biomed. Met. Res. Part B Appl. Biomater. (2006) 30682.
- [81] Guobao Wei, Peter X. Ma, *Structure and properties of nano-hydroxyapatite/ polymer composite scaffolds for bone tissue engineering*, Biomaterial 25 (2004) 4749e4757.
- [82] A. Balamurugan, A.H.S. Rebelo, A.F. Lemos, J.H.G. Rocha, J.M.G. Ventura, J.M.F. Ferreira, *Suitability evaluation of sol-gel derived Si-substituted hydroxyapatite for dental and maxillofacial applications through in vitro osteoblasts response*, Dent. Mater. 24 (2008) 1374e1380.
- [83] F. Ren, Y. Leng, R. Xin, X. Ge, *Synthesis characterization and initio simulation of magnesium-substituted hydroxyapatite*, Act. Biomater. 6 (2010) 2787e2796.
- [84] Jayachandran Venkatesan, Zhong-Ji Qian, BoMi Ryu, Nanjundan Ashok Kumar, Se-Kwon Kim, *Preparation and characterization of carbon nanotubes-graftedchitosan-Natural hydroxyapatite composite for bone tissue engineering*, Carbohydr. Polym. 83 (2011) 569e577
- [85] Yong Liu, Dingshan Yu, Chao Zeng, Zongcheng Miao, Liming Dai, *Biocompatible graphene oxide-based glucose biosensors*, Langmuir 26 (2010) 6158e6160.
- [86] Fong-Lee Ng, Muhammad Musoddiq Jaafar, Siew-Moi Phang, Zhijian Chan, Nurul Anati Salleh, Siti Zulfikriyah Azmi, Kamran Yunus, Adrian C. Fisher, Vengadesh Periasamy, *Reduced graphene oxide anodes for potential application in algae biophotovoltaic platforms*, Sci. Rep. 4 (2014) 7562
- [87] M. Ramadas, G. Bharath, N. Ponpandian, A.M. Ballamuruga, *Investigation on biophysical properties of Hydroxyapatite/Graphene oxide (HAp/GO) based binary nanocomposite for biomedical applications*, Materials Chemistry and Physics 199 (2017) 179-184